

Gráfico de Controle por Variáveis

Principais Gráficos de Variáveis

- Gráfico de Média (\bar{X})
- Gráfico de Amplitude (R)
- Gráfico de Variância (S^2)
- Gráfico de Desvio-Padrão (S)

Controle Estatístico de Qualidade -2020

3

Roteiro

1. Construção de Gráficos de Controle de \bar{X} e R
2. Análise de Desempenho dos Gráficos \bar{X} e R
3. Alternativas para Monitoramento da Dispersão
4. Regras Suplementares de Decisão para Gráficos \bar{X}
5. Escolha do Intervalo de Tempo entre Amostras
6. Referências

Controle Estatístico de Qualidade -2020

2

Análise de Desempenho dos Gráficos \bar{X} e R

Desempenho dos Gráficos de Controle

- Capacidade de detectar perturbações no processo
- É importante para planejamento do gráfico:
 - ✓ Determinação do plano de amostragem
 - tamanho amostra; intervalo entre amostras
 - ✓ Estabelecimento dos Limites de Controle
 - abertura do gráfico

Controle Estatístico de Qualidade -2020

45

Teste de Hipóteses do Gráfico de \bar{X}

- $H_0: \mu = \mu_0$ vs. $H_1: \mu \neq \mu_0$
- $H_0:$
 - ✓ Processo em controle
 - ✓ Processo ajustado
 - ✓ Processo centrado no valor-alvo
 - ✓ Processo livre de causas especiais
- Não se rejeita H_0 toda vez em que \bar{X} cai fora da zona de ação do gráfico (dentro dos limites de controle)

Controle Estatístico de Qualidade -2020

47

Teste de Hipóteses

		Decisão	
		Não Rejeitar H_0	Rejeitar H_0
V	Decisão	$1 - \alpha$	Erro
	Correta	Tipo I	α
F	Erro	β	Decisão
	Tipo II	Correta	$1 - \beta$

Controle Estatístico de Qualidade -2020

46

Erros de Decisão

- Alarme Falso (Erro tipo I)
 - ✓ considerar erroneamente o processo fora de controle
 - ✓ Consequência: intervir na hora errada
- Não detecção (Erro tipo II)
 - ✓ considerar erroneamente o processo em controle
 - ✓ Consequência: não intervir na hora certa

Controle Estatístico de Qualidade -2020

48

Medidas de Desempenho

- Supondo-se que as causas especiais não alterem σ
 - $\sqrt{\alpha} = P\{\text{Erro tipo I}\}$

$$\alpha = P(\{\bar{X} > LSC_{\bar{X}}\} \cup \{\bar{X} < LIC_{\bar{X}}\} | \mu = \mu_0)$$
 - $\sqrt{\beta} = P\{\text{Erro tipo II}\}$

$$\beta = P\{LIC_{\bar{X}} \leq \bar{X} \leq LSC_{\bar{X}} | \mu \neq \mu_0\}$$
 - $\sqrt{\text{Poder do Gráfico de Controle: }} P_d = 1 - \beta$

Controle Estatístico de Qualidade -2020

49

Alarme Falso

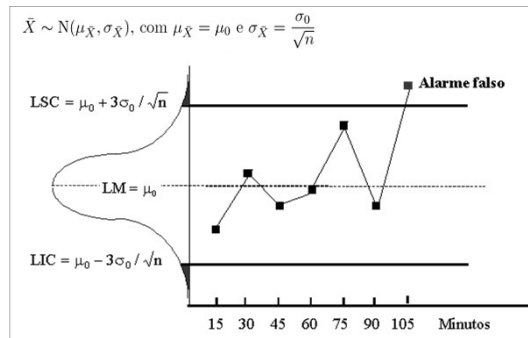
- Para muitas distribuições, \bar{X} tenderá para uma Normal mesmo para n pequeno
- Processo em controle com desempenho 3σ

$$\begin{aligned}\alpha &= P\left\{Z > \frac{LSC_{\bar{X}} - \mu_{\bar{X}}}{\sigma_{\bar{X}}}\right\} + P\left\{Z < \frac{LIC_{\bar{X}} - \mu_{\bar{X}}}{\sigma_{\bar{X}}}\right\} \\ &= P\{|Z| > 3\} \\ &= 0,0027\end{aligned}$$

Controle Estatístico de Qualidade -2020

51

- Gráfico de \bar{X} – Ocorrência de Alarme Falso



Controle Estatístico de Qualidade -2020

50

Número Médio de Amostras

L : Quantidade de amostras antes de alarme falso

$$\sqrt{L \sim \text{geométrica} (\alpha)}$$

$$P\{L = x\} = \alpha(1 - \alpha)^{x-1}, \quad x = 1, 2, \dots$$

$\sqrt{\text{Número médio de amostras antes de alarme falso}}$

CMS_0 : Comprimento médio da sequência com o processo sob controle

$$CMS_0 = E(L) = \frac{1}{\alpha}$$

$\sqrt{\text{Para limites } 3\sigma, CMS_0 = 370,4}$

Controle Estatístico de Qualidade -2020

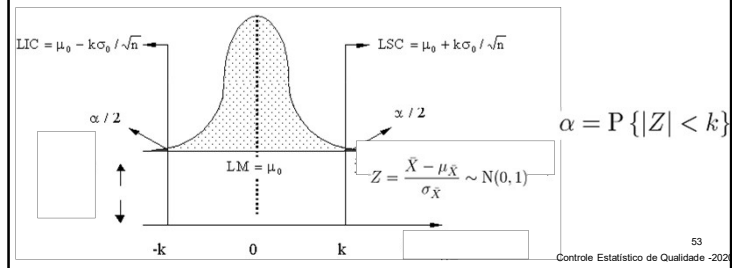
52

Influência da Abertura do Gráfico

- Semi-amplitude da região de controle:

$$k \frac{\sigma_0}{\sqrt{n}}$$

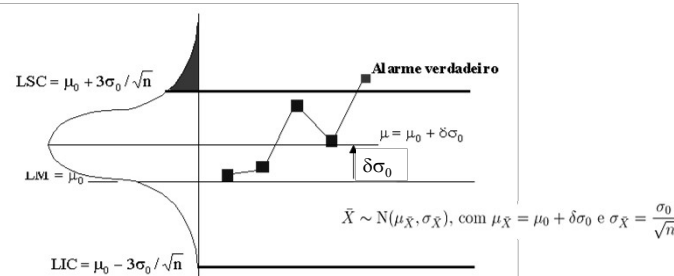
✓ Diminuição da frequência de alarmes falsos
– adotar $k > 3$



Controle Estatístico de Qualidade -2020

53

Gráfico de \bar{X} – Alarme Verdadeiro



✓ Processo sob influência de causa especial (H_1 Verdadeira)
o ideal seria o 1º ponto cair na zona de ação do gráfico

Controle Estatístico de Qualidade -2020

55

- Exemplo: Para $k = 3,10$

✓ Risco de alarme falso:

$$\alpha = P\{|Z| < k\} = P\{|Z| < 3,10\} = 0,0019$$

✓ Número médio até alarme falso (tempo discreto) :

$$CMS_0 = \frac{1}{\alpha} = \frac{1}{0,0019} = 516,7$$

✓ TMA: tempo médio entre alarmes (tempo contínuo)

$$TMA = 516,7 \times h$$

Controle Estatístico de Qualidade -2020

54

Deslocamento da Média

- Sejam

$$\begin{aligned}\mu_1 &= \mu_0 + \delta\sigma_0 \\ \delta &= \frac{\mu_1 - \mu_0}{\sigma_0}\end{aligned}$$

✓ Se $\delta \geq 1,5$ o valor de \bar{X} cairá na zona de ação rapidamente

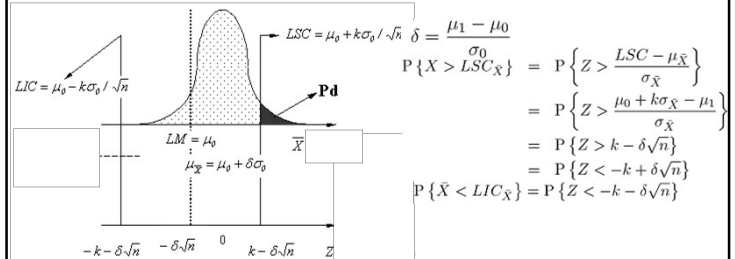
✓ Se $\delta < 1,5$ haverá uma certa inércia para a média amostral cair na zona de ação

Controle Estatístico de Qualidade -2020

56

Poder do Gráfico de \bar{X}

$P_d: P\{\text{um valor de } \bar{X} \text{ cair na zona de ação}\}$



$$P_d = P\{Z < -k + \delta\sqrt{n}\} + P\{Z < -k - \delta\sqrt{n}\}$$

Controle Estatístico de Qualidade -2020

57

- No caso em que $k = 3$, $\delta = 1$ e $n = 4$

$$\begin{aligned} P_d &= P\{Z < -k + \delta\sqrt{n}\} + P\{Z < -k - \delta\sqrt{n}\} \\ &= P\{Z < -3 + 1\sqrt{4}\} + P\{Z < -3 - 1\sqrt{4}\} \\ &= 0,1587 + 0,0000 = 0,1587 \end{aligned}$$

Controle Estatístico de Qualidade -2020

58

Alarme Verdadeiro

$M: \text{Qte. de amostras antes de um alarme verdadeiro}$

$\sqrt{M} \sim \text{geométrica } (P_d)$

$$P\{M = x\} = P_d(1 - P_d)^{x-1}, \quad x = 1, 2, \dots$$

\sqrt{M} Número médio de amostras para detectar desajuste

- CMS₁: comprimento médio de sequência com o processo fora de controle

$$\text{CMS}_1 = E(M) = \frac{1}{P_d}$$

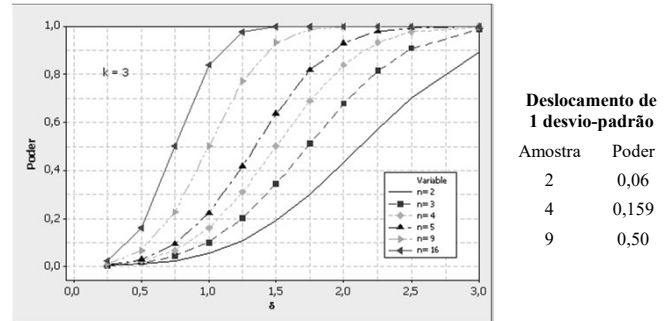
- Necessárias, em média, 6,3 amostras de tamanho 4 para detectar deslocamento de 1 desvio-padrão da média

- Necessárias em média 2 amostras de tamanho 9 para perceber o mesmo deslocamento ($P_d = 0,5$)

Controle Estatístico de Qualidade -2020

59

- Curvas de poder vs. deslocamento



\sqrt{n} não afeta a probabilidade de alarme falso

Tamanho amostral tem grande influência no poder do gráfico de controle (erro tipo II)

Controle Estatístico de Qualidade -2020

60

Rapidez de Sinalização

NMA: número médio de amostras até o sinal

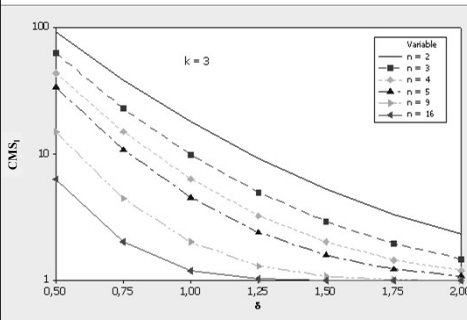
$$CMS_i = \frac{1}{p_i}$$

- ✓ Se H_0 : $\mu = \mu_0$ for verdadeira, $p_0 = \alpha$ e $CMS_0 = 1/\alpha$
- ✓ Se H_0 : $\mu = \mu_0$ for falsa, $p_1 = P_d$ e $CMS_1 = 1/P_d$

- M: número da amostra que sinaliza o desajuste
 - ✓ Para $\delta = 1,00$, $n = 4 \rightarrow P\{M=1\} = 0,159$ (Poder)

m	$P\{M=m\}$	$P\{M \leq m\}$
1	0,16	0,16
2	$0,84 \times 0,16$	0,29
3	$0,84^2 \times 0,16$	0,41
4	$0,84^3 \times 0,16$	0,50
5	$0,84^4 \times 0,16$	0,58
6	$0,84^5 \times 0,16$	0,65
7	$0,84^6 \times 0,16$	0,70

- Curvas de CMS_1 vs. deslocamento



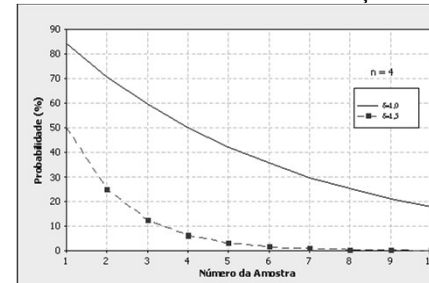
Deslocamento de 1 desvio-padrão	
Tamanho	Qte.
3	10
9	2

- ✓ Deslocamento na média de 1 desvio-padrão

- Em média, para detecção: 10 amostras de tamanho 3 ou 2 amostras de tamanho 9

- Curva de Probabilidade de Não-detecção:

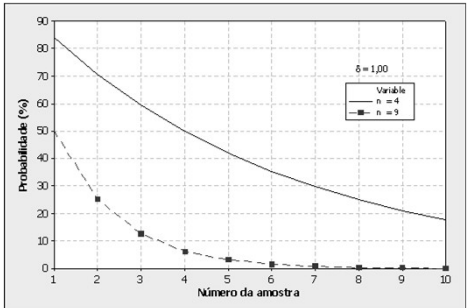
- ✓ Probabilidade de, após desajuste, todos os i primeiros valores de \bar{X} não caírem na zona de ação do gráfico



- ✓ Velocidade de detecção de desajuste para amostra n=4

- Para $\delta=1,5$ detecção com 'certeza' até a 7ª. inspeção
- Para $\delta=1,0$ 30% de chance de não ser percebido até 7ª. amostra

- Curva de Probabilidade de Não Detecção para $\sqrt{\delta} = 1,0$



Desempenho do Gráfico de R

- Comentários:
 - ✓ Deslocamento da média da ordem de $1,5 \sigma$ será detectado com ‘certeza’ até a 7^a. amostra.
 - ✓ Deslocamento de $\delta = 1,0$ tem cerca de 30% de probabilidade de não ser percebido até a 7^a. amostra.
 - ✓ Os gráficos de \bar{X} são ágeis na detecção de grandes deslocamentos da média ($\delta > 1,5$) e lentos no caso de deslocamentos moderados.
 - ✓ Com grandes amostras, os gráficos de \bar{X} são ágeis na detecção de deslocamentos moderados e lentos no caso de amostras pequenas.

Gráfico de R

- Limites de controle:
- $$LSC_R = d_2\hat{\sigma}_0 + 3d_3\hat{\sigma}_0 = (d_2 + 3d_3)\hat{\sigma}_0$$
- $$LM_R = d_2\hat{\sigma}_0$$
- $$LIC_R = d_2\hat{\sigma}_0 - 3d_3\hat{\sigma}_0 = (d_2 - 3d_3)\hat{\sigma}_0$$
- Estimativa do desvio-padrão do processo:

$$\hat{\sigma}_0 = \frac{\bar{R}}{d_2}$$

Gráfico de R

- Hipóteses associadas:
 $\sqrt{H_0: \sigma = \sigma_0 \text{ vs. } \sigma \neq \sigma_0}$
 $(\sigma_0: \text{desvio-padrão do processo sob controle})$
- Medidas associadas

$$\begin{aligned}\alpha &= 1 - P(LIC_R \leq R \leq LSC_R | \sigma = \sigma_0) \\ \beta &= P(LIC_R \leq R \leq LSC_R | \sigma \neq \sigma_0)\end{aligned}$$

Controle Estatístico de Qualidade -2020

69

Gráfico de R – Alarme Falso

- Processo sob controle e desempenho 3σ

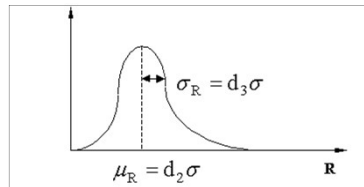
$$\begin{aligned}1 - \alpha &= P\{LIC_R \leq R \leq LSC_R | \sigma = \sigma_0, n = n_0\} \\ &= P\{\max\{0, (d_2 - 3d_3)\}\sigma_0 \leq R \leq (d_2 + 3d_3)\sigma_0 | n = n_0\} \\ &= P\{\max\{0, (d_2 - 3d_3)\} \leq W \leq (d_2 + 3d_3) | n = n_0\}\end{aligned}$$
 $\sqrt{\alpha > 0,0027 \text{ (para limites } 3\sigma)}$
 $\sqrt{\text{Para } 2 \leq n \leq 6, LIC_R = 0 \text{ (}}d_2 < 3d_3\text{)}$
- Número médio de amostras até alarme falso

$$CMS_0 = \frac{1}{\alpha}$$

Controle Estatístico de Qualidade -2020

72

Cálculo de Probabilidades de R



- $\sqrt{\text{A distribuição de } R \text{ é assimétrica}}$
- $\sqrt{\text{A distribuição de } R \text{ depende de } n \text{ e } \sigma}$
- $\sqrt{\text{A amplitude relativa } W = R/\sigma \text{ não depende de } \sigma}$
- $\sqrt{\text{Valores para } P\{W \leq w_0 | n = n_0\} \text{ (Tabela B)}}$
 - Hipótese de que X tenha distribuição normal
 - Uso da tabela: $P\{R < r_0\} = P\left\{W < \frac{r_0}{\sigma}\right\}$

Controle Estatístico de Qualidade -2020
70

- Risco α para $n_0 = 2, 3, 4$ e 5

n	d₂	d₃	LIC_R	LSC_R	α	CMS₀
2	1,128	0,853	0	3,69	0,0090	111
3	1,693	0,888	0	4,36	0,0060	167
4	2,059	0,880	0	4,70	0,0050	200
5	2,326	0,864	0	4,92	0,0047	213
6	2,534	0,848	0	5,08	0,0045	222
7	2,704	0,833	0,21	5,20	0,0044	227
10	2,847	0,820	0,69	5,47	0,0041	244

$$\begin{aligned}LIC_R &= \max\{0, d_2 - 3d_3\} & LSC_R &= d_2 + 3d_3 \\ CMS_0 &= \frac{1}{\alpha}\end{aligned}$$

Controle Estatístico de Qualidade -2020

73

Gráfico de R – Poder

$$P_d = P \{R > LSC_R | n = n_0, \sigma = \sigma_1\}$$

✓ Supondo $\sigma_1 = 2\sigma_0$

$$\begin{aligned} P_d &= P \left\{ \frac{R}{\sigma_1} > \frac{(d_2 + 3d_3)\sigma_0}{\sigma_1} | n = n_0 \right\} \\ &= P \left\{ W > \frac{d_2 + 3d_3}{2} | n = n_0 \right\} \end{aligned}$$

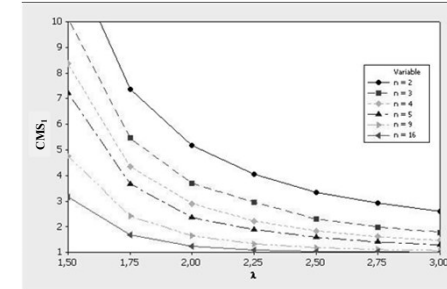
✓ Para $n = 5$

$$\begin{aligned} P_d &= P \left\{ W > \frac{2,326 + (3)(0,864)}{2} | n = 5 \right\} \\ &= P \{W > 2,46 | n = 5\} = 1 - 0,5904 \approx 0,41 \end{aligned}$$

Controle Estatístico de Qualidade -2020

74

- Número médio de amostras até detecção: $CMS_1 = \frac{1}{P_d}$



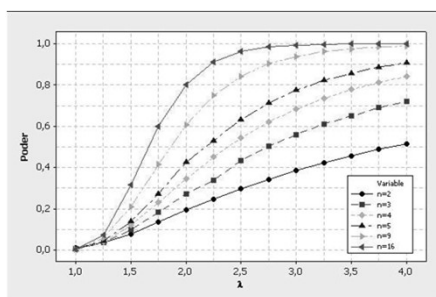
	n	CMS₁
CMS ₁ para detectar aumento de 100% ($\lambda = 2$) em σ	2	5
	4	3

Controle Estatístico de Qualidade -2020

76

- Para $\sigma_1 = \lambda \sigma_0$
 λ : fator de aumento

$$P_d = P \left\{ W > \frac{d_2 + 3d_3}{\lambda} | n = n_0 \right\}$$



Poder para detectar aumento de 100% ($\lambda = 2$) em σ	n	P_d
	2	0,20
	5	0,41
	16	0,80

Controle Estatístico de Qualidade -2020

75

- Limites de controle para α pré-definido:

$$\begin{aligned} \frac{LIC_R}{\hat{\sigma}_0} &= w_{\alpha/2} \\ \frac{LSC_R}{\hat{\sigma}_0} &= w_{1-\alpha/2} \end{aligned}$$

✓ $w_{\alpha/2}$: valor de w , tal que $P\{W < w_{\alpha/2}\} = \alpha/2$

✓ LM = $d_2 \sigma_0$ (não é afeitado)

✓ Vantagem: detectar melhorias do processo

- Para $n = 4$ e $\alpha = 0,002$: $LSC_R = w_{0,999}\hat{\sigma}_0 = 5,30 \hat{\sigma}_0$
 $LIC_R = w_{0,001}\hat{\sigma}_0 = 0,20 \hat{\sigma}_0$

- Para $n = 4$ e desempenho 3σ : $LSC_R = 4,70 \hat{\sigma}_0$
 $\alpha = 0,005$

Controle Estatístico de Qualidade -2020

77

Gráficos de Controle \bar{X} e R: Análise do Desempenho Conjunto

- Considerando limites 3σ e $n = 4$:

$$\alpha_{\bar{X}} = 0,0027 \text{ e } \alpha_R = 0,0050$$

- ✓ O risco de alarme conjunto é $\alpha \approx 0,0077$
- ✓ Número médio de amostras até alarme falso:
 $CMS_0 \approx 130$ (considerado elevado)

Controle Estatístico de Qualidade -2020

80

Gráfico de \bar{X} e R

- Hipóteses associadas:
 - ✓ $H_0: \mu = \mu_0$ e $\sigma = \sigma_0$
 - ✓ $H_1: \mu \neq \mu_0$ e $\sigma \neq \sigma_0$
- Risco de alarme falso do gráfico de \bar{X}
$$\alpha_{\bar{X}} = 1 - P \{ LIC_{\bar{X}} \leq \bar{X} \leq LSC_{\bar{X}} | \mu = \mu_0 \text{ e } \sigma = \sigma_0 \}$$
- Risco de alarme falso do gráfico de R
$$\alpha_R = 1 - P \{ LIC_R \leq R \leq LSC_R | \sigma = \sigma_0 \}$$
- Probabilidade conjunta de alarme falso
$$\alpha = \alpha_{\bar{X}} + \alpha_R - \alpha_{\bar{X}} \alpha_R$$

Controle Estatístico de Qualidade -2020

79

Redução do Risco α

- Para melhorar a proteção contra alarmes falsos
 - ✓ Alargamento dos limites do gráfico
 - ✓ Razoável adotar $\alpha_{\bar{X}} = \alpha_R$
(caso não haja informações sobre os desajustes)

Controle Estatístico de Qualidade -2020

81

- Exemplo:

✓ Com $\alpha \approx 0,0024$ e $n = 4$ ($CMS_0 = 416,7$)
 $\alpha_{\bar{X}} = \alpha_R = 0,0012$,

✓ Limites dos gráficos:

- Gráfico de \bar{X}

$$\mu_0 \pm 3,24\sigma_0/\sqrt{n}, \text{ pois } P\{|Z| > 3,24\} = 0,0012$$

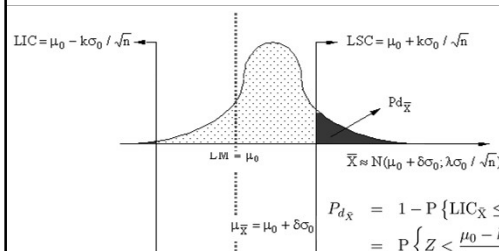
- Gráfico de R

$$LSC_R = w_{0,9988}\sigma_0 = 5,25\sigma_0$$

- Poder do Gráfico de \bar{X} :

✓ para sinalizar desajuste e instabilidade no processo

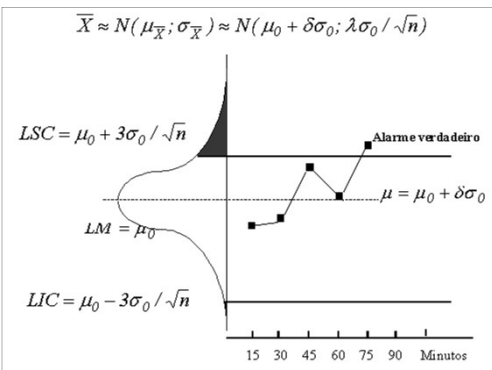
$$(\mu_1 = \mu_0 + \delta\sigma_0 \text{ e } \sigma_1 = \lambda\sigma_0)$$



$$\begin{aligned} P_{d_{\bar{X}}} &= 1 - P\{\text{LIC}_{\bar{X}} \leq \bar{X} \leq \text{LSC}_{\bar{X}} | \mu = \mu_1 \text{ e } \sigma = \sigma_1\} \\ &= P\left\{Z < \frac{\mu_0 - k\sigma_0/\sqrt{n} - \mu_1}{\sigma_1/\sqrt{n}}\right\} + \\ &\quad P\left\{Z > \frac{\mu_0 + k\sigma_0/\sqrt{n} - \mu_1}{\sigma_1/\sqrt{n}}\right\} \\ &= P\left\{Z < -\frac{k + \delta\sqrt{n}}{\lambda}\right\} + P\left\{Z < -\frac{k - \delta\sqrt{n}}{\lambda}\right\} \end{aligned}$$

- Desajuste e instabilidade no processo

$$(\mu_1 = \mu_0 + \delta\sigma_0 \text{ e } \sigma_1 = \lambda\sigma_0)$$



- Poder do gráfico de R

✓ para sinalizar instabilidade do processo

$$(\sigma_1 = \lambda\sigma_0)$$

$$\begin{aligned} P_{d_R} &= 1 - P\{R > \text{LSC}_R | \sigma = \sigma_1\} \\ &= P\left\{W > \frac{w_{(1-\alpha_R)}\sigma_0}{\sigma_1}\right\} \\ &= P\left\{W > \frac{w_{(1-\alpha_R)}}{\lambda}\right\} \end{aligned}$$

- Poder conjunto dos gráficos \bar{X} e R

$$P_d = P_{d_{\bar{X}}} + P_{d_R} - P_{d_{\bar{X}}} P_{d_R}$$

Exemplo A

- ✓ Deslocamento da média do processo: $\delta = 0,5$
- ✓ Desajuste do processo: $\lambda = 2$
- ✓ Plano amostral: ($n = 4$; $k = 3,24$; $w_{0,9988} = 5,25$)
- ✓ Poder do gráfico de \bar{X} :

$$\begin{aligned} P_{d_{\bar{X}}} &= P \left\{ Z < -\frac{k + \delta\sqrt{n}}{\lambda} \right\} + P \left\{ Z < -\frac{k - \delta\sqrt{n}}{\lambda} \right\} \\ &= P \left\{ Z < -\frac{3,24 + 0,5\sqrt{4}}{2} = -2,12 \right\} \\ &\quad + P \left\{ Z < -\frac{3,24 - 0,5\sqrt{4}}{2} = -1,12 \right\} \\ &= 0,0170 + 0,1314 = 0,1484 \end{aligned}$$

Controle Estatístico de Qualidade -2020

86

- Caso variância não se altere: $\lambda = 1,00$

✓ Poder do gráfico de \bar{X} :

$$\begin{aligned} P_{d_{\bar{X}}} &= P \left\{ Z < -\frac{k + \delta\sqrt{n}}{\lambda} \right\} + P \left\{ Z < -\frac{k - \delta\sqrt{n}}{\lambda} \right\} \\ &= P \left\{ Z < -\frac{3,24 + 0,5\sqrt{4}}{1} = -4,24 \right\} \\ &\quad + P \left\{ Z < -\frac{3,24 - 0,5\sqrt{4}}{1} = -2,24 \right\} \\ &= 0,01255 \end{aligned}$$

✓ Poder conjunto dos gráficos:

$$\begin{aligned} P_d &= P_{d_{\bar{X}}} + P_{d_R} - P_{d_{\bar{X}}} P_{d_R} \\ &= 0,01255 + 0,0012(1 - 0,01255) = 0,01374 \end{aligned}$$

✓ Pd reduz-se consideravelmente

- Sem o gráfico de R o poder de detecção praticamente não se altera

Controle Estatístico de Qualidade -2020

88

- ✓ Poder do gráfico de R:

$$\begin{aligned} P_{d_R} &= 1 - P \left\{ W \leq \frac{w_{(1-\alpha_R)}}{\lambda} \right\} \\ &= 1 - P \left\{ W \leq \frac{5,25}{2} = 2,625 \right\} \\ &= 1 - 0,75 = 0,25 \end{aligned}$$

- ✓ Poder conjunto:

$$\begin{aligned} P_d &= P_{d_{\bar{X}}} + P_{d_R} - P_{d_{\bar{X}}} P_{d_R} \\ &= 0,1484 + 0,25(1 - 0,1484) = 0,3613 \end{aligned}$$

Controle Estatístico de Qualidade -2020

87

- Caso a média não se altere: $\delta = 0$

✓ Poder do gráfico de \bar{X} :

$$\begin{aligned} P_{d_{\bar{X}}} &= P \left\{ Z < -\frac{k + \delta\sqrt{n}}{\lambda} \right\} + P \left\{ Z < -\frac{k - \delta\sqrt{n}}{\lambda} \right\} \\ &= 2 \times P \left\{ Z < -\frac{3,24}{2} = -1,62 \right\} \\ &= 0,1052 \end{aligned}$$

✓ Poder conjunto dos gráficos:

$$\begin{aligned} P_d &= P_{d_{\bar{X}}} + P_{d_R} - P_{d_{\bar{X}}} P_{d_R} \\ &= 0,1052 + 0,2500(1 - 0,1052) = 0,3289 \end{aligned}$$

✓ $P_{d_{\bar{X}}}$ independe do tamanho da amostra

✓ Sem o gráfico de controle de \bar{X} , o poder de detecção reduz-se

- Poder conjunto para detectar aumentos na dispersão do processo é maior que o poder individual do gráfico de R.

Controle Estatístico de Qualidade -2020

89

Exemplo B

- Exemplo B:

✓ Deslocamento da média do processo: $\delta = 0,5$

✓ Desajuste do processo: $\lambda = 1,2$

✓ Plano amostral: $(n = 4; k = 3,24)$

✓ Poder do gráfico de \bar{X} :

$$\begin{aligned} P_{d\bar{X}} &= P \left\{ Z < -\frac{k + \delta\sqrt{n}}{\lambda} \right\} + P \left\{ Z < -\frac{k - \delta\sqrt{n}}{\lambda} \right\} \\ &= P \left\{ Z < -\frac{3,24 + 0,5\sqrt{4}}{1,2} = -3,53 \right\} \\ &\quad + P \left\{ Z < -\frac{3,24 - 0,5\sqrt{4}}{1,2} = -2,24 \right\} \\ &= 0,0307 + 0,0002 = 0,0309 \end{aligned}$$

Controle Estatístico de Qualidade -2020

90

✓ Poder conjunto dos gráficos:

– Exemplo A: ($\delta = 0,5$ e $\lambda = 2,0$)

$P_d = 0,3613$

– Exemplo B: ($\delta = 0,5$ e $\lambda = 1,2$)

$P_d = 0,04156$

✓ Diferenças no poder global

– $P_d = 36\%$ para aumento de 100% no desvio-padrão

– $P_d = 4,2\%$ para aumento de 20% no desvio-padrão

Controle Estatístico de Qualidade -2020

92

✓ Poder do gráfico de R:

$$\begin{aligned} P_{dR} &= 1 - P \left\{ W \leq \frac{w(1-\alpha_R)}{\lambda} \right\} \\ &= 1 - P \left\{ W \leq \frac{5,25}{1,2} = 4,375 \right\} \\ &= 1 - 0,9890 = 0,0110 \end{aligned}$$

✓ Poder conjunto:

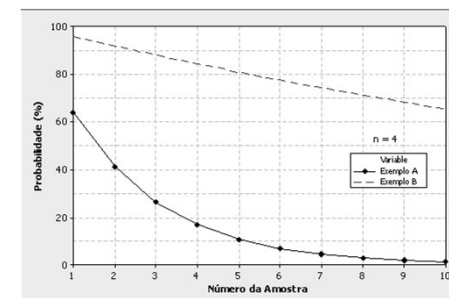
$$\begin{aligned} P_d &= P_{d\bar{X}} + P_{dR} - P_{d\bar{X}} P_{dR} \\ &= 0,0309 + 0,0110(1 - 0,0309) = 0,04156 \end{aligned}$$

Controle Estatístico de Qualidade -2020

91

- Probabilidade de os gráficos de \bar{X} e R não terem emitido sinal até a i -ésima amostra após o desajuste

✓ As primeiras i observações caíram dentro dos limites



Controle Estatístico de Qualidade -2020

93

Comentários

- Exemplo A: ($\delta = 0,5$ e $\lambda = 2,0$)
 - ✓ É quase certo que pelo menos um dos gráficos perceberá as alterações até a 7^a. Amostra
- Exemplo B: ($\delta = 0,5$ e $\lambda = 1,2$)
 - ✓ Há uma probabilidade superior a 60% que até a 10^a. Amostra nenhum dos gráficos perceberá as alterações

Comentário

- Os gráficos de \bar{X} e R não são indicados para monitoramento de processos sujeitos a pequenas perturbações.
 - ✓ Deve-se recorrer a outros tipos de gráficos – CUSUM, EWMA, etc.

Comparação de Poderes

• Planejamento:

✓ $n = 4$ e $\alpha_X = \alpha_R = 0,0012$ ($k=3,24$ e $LSC_R = 5,25\sigma_0$)

	A (estável)	B (ajustado)	C (ajustado)	D
$\delta = 0,5$ e $\lambda = 2$	$\delta = 0,5$ e $\lambda = 1$	$\delta = 0$ e $\lambda = 2$	$\delta = 0,5$ e $\lambda = 1,2$	
Pd_X	0,1484	0,01255	0,1052	0,0309
Pd_R	0,2500	α_R	0,2500	0,0107
Pd	0,3613	0,01374	0,3289	0,0413

✓ B: o gráfico R não é sensível a alterações na média

✓ C: O poder global é reduzido sem o gráfico \bar{X}

✓ D: diminuição do poder global (em comparação a A)

Referências

Bibliografia Recomendada

- COSTA, A.F.B.; EPPRECHT, E.K. e CARPINETTI, L.C.R. *Controle Estatístico de Qualidade*. Atlas, 2004
- MONTGOMERY, D.C. *Introdução ao Controle Estatístico de Qualidade*, 4^a. edição. LTC, 2004
- MITTAG, H.-J. e RINNE, H. *Statistical Methods of Quality Assurance*. Chapman & Hall, 1993.